

8/vi-71

T-484

ОБЪЕДИНЕННЫЙ
ИНСТИТУТ
ЯДЕРНЫХ
ИССЛЕДОВАНИЙ

Дубна.

P 13-5751

1865/2-71



5751

Л.Г. Ткачев, В.Д. Шестаков

ВЛИЯНИЕ УЛЬТРАЗВУКА
НА ДИНАМИКУ ПАРОВОГО ПУЗЫРЬКА
В ЖИДКОМ ВОДОРОДЕ

II

ЛАБОРАТОРИЯ ЯДЕРНЫХ ПРОБЛЕМ

1971

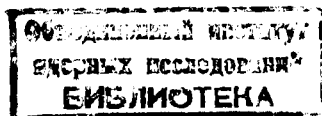
P 13-5751

Л. Г. Ткачев, В. Д. Шестаков

ВЛИЯНИЕ УЛЬТРАЗВУКА
НА ДИНАМИКУ ПАРОВОГО ПУЗЫРЬКА
В ЖИДКОМ ВОДОРОДЕ

II

Направлено в ПТЭ



В в е д е н и е

В настоящее время предпринимаются попытки создания ультразвуковых пузырьковых камер (УЗПК)^{/1,2/}. В связи с этим теоретически рассматривается влияние ультразвукового поля на динамику парового пузырька в жидком водороде^{/3,4/}. В данной работе в отличие от^{/3,4/} пар не считается идеальным газом, вследствие чего изменяется система уравнений, описывающих поведение пузырька. Как и следовало ожидать, качественное описание поведения одиночного парового пузырька в жидкости под действием ультразвукового поля не изменилось: по-прежнему механизмом роста пузырька является выпрямленная тепловая диффузия. Учёт свойств реального газа приводит к тому, что пузырек вырастает до существенно больших размеров. Результатом этого является доминирующая роль объемных факторов при установлении динамически равновесных пульсаций пузырька.

Формулировка задачи

Как и в работе^{/3/}, ограничимся рассмотрением сферического парового пузырька, совершающего радиальные пульсации под действием синусоидального ультразвукового поля в несжимаемой жидкости. Температурное поле вокруг пузырька предполагается изотропным, а сам пузырек – однородным. Амплитуды и частоты пульсаций пузырька ог-

раничены следующим условием квазиравновесности процесса испарения (конденсации)

$$\dot{M} < 4\pi R^2 \frac{a P' \sqrt{\mu}}{\sqrt{2\pi R_B T'}} \quad (1)$$

где μ – граммоллекулярный вес,

где \dot{M} – скорость изменения массы пузырька, R_B – универсальная газовая постоянная, R – радиус пузырька, P' и T' – давление и температура пара в нем, a – коэффициент аккомодации.

В данной работе рассматриваются достаточно большие пузырьки, для описания поведения которых несущественны члены, обусловленные поверхностным натяжением.

Условие квазиравновесности (1) означает, что пар в пузырьке находится в термодинамическом равновесии с поверхностным слоем жидкости

$$P'(t) = P(R, t), \quad T'(t) = T(R, t), \quad (2)$$

где $P(R, t)$ и $T(R, t)$ – давление и температура в жидкости на поверхности пузырька в момент времени t .

Уравнения, определяющие поведение пузырька, следуют из законов сохранения импульса, массы и энергии. Уравнение непрерывности в несжимаемой жидкости

$$r^2 \dot{r} = U_R R^2 \quad (3)$$

позволяет проинтегрировать уравнение Эйлера по пространственной переменной. В результате получаем:

$$R \dot{U}_R + 2 U_R \dot{R} - \frac{1}{2} U_R^2 = \frac{P' - P_a}{\rho} \quad (4)$$

где \mathbf{r} - координата точки в жидкости, $\dot{\mathbf{r}}$ и \mathbf{U}_R - скорости жидкости в точках \mathbf{r} и \mathbf{R} соответственно ($\mathbf{U}_R \equiv \lim_{\mathbf{r} \rightarrow \mathbf{R}} \dot{\mathbf{r}}$), ρ - плотность жидкости, P_∞ - давление в жидкости на бесконечном удалении от пузырька $P_\infty = P_0 - P_1 \sin(2\pi f t)$. Здесь P_0 - статическое давление, P_1 и f - амплитуда и частота ультразвукового поля.

Уравнение (4) переходит в известное уравнение Релея, если положить $\mathbf{U}_R \equiv \dot{\mathbf{R}}$. В общем случае \mathbf{U}_R и $\dot{\mathbf{R}}$ связаны соотношением, следующим из условия сохранения массы при испарении и конденсации на поверхности пузырька

$$\dot{\mathbf{R}} = \mathbf{U}_R + \frac{\dot{\mathbf{M}}}{4\pi R^2 \rho}. \quad (5)$$

Уравнения (4) и (5) определяют $\mathbf{R}(t)$, если известна $P'(t)$. Давление пара определяется из закона сохранения энергии в рассматриваемой системе

$$dE_v + dE_L = -4\pi R^2 P' U_R dt, \quad (6)$$

где приращения внутренних энергий пара и жидкости соответственно равны:

$$dE_v = \epsilon_v dM + \left(\frac{\partial E_v}{\partial \rho'} \right)_{M, T} d\rho' + c_v M dT', \quad (7)$$

$$dE_L = -\epsilon_L dM - 4\pi R^2 k \frac{\partial T}{\partial R} dt. \quad (8)$$

Здесь ϵ_v и ϵ_L - удельные внутренние энергии пара и жидкости, ρ' и c_v - плотность пара и его удельная теплоемкость при постоянном объеме, k - коэффициент теплопроводности жидкости, $\frac{\partial T}{\partial R}$ - градиент температуры в жидкости у поверхности пузырька. Учитывая

$$\epsilon_v - \epsilon_L = L - P' \left(\frac{1}{\rho'} - \frac{1}{\rho} \right), \quad (9)$$

где L - теплота парообразования, уравнение сохранения энергии (6) можно переписать в виде

$$L dM + c_s \rho' dT' = 4\pi R^2 k \frac{\partial T}{\partial R}, \quad (10)$$

где c_s - теплоемкость пара вдоль кривой фазового равновесия, равная

$$c_s = c_v + T' \left(\frac{dP'}{dT'} \right) \rho' \frac{d \left(\frac{1}{\rho'} \right)}{dP'}. \quad (11)$$

Термодинамические величины P' , T' и ρ' связаны друг с другом уравнением состояния

$$P' = R_B T' \frac{\rho'}{\mu} \left[1 + B \frac{\rho'}{\mu} + C \left(\frac{\rho'}{\mu} \right)^2 \right], \quad (12)$$

где μ - граммoleкулярный вес, B и C - вириальные коэффициенты, являющиеся известными функциями температуры^{/5/}. В приближении идеального газа $B \equiv C \equiv 0$.

Из выражения (10) следует уравнение, определяющее давление пара в пузырьке

$$\frac{dP'}{dt} = \frac{3}{R} \frac{k \frac{\partial T}{\partial R} - \rho' LR}{L \frac{d\rho'}{dP'} + c_s \rho' \frac{dT'}{dP'}}, \quad (13)$$

где производные $\frac{d\rho'}{dP'}$ и $\frac{dT'}{dP'}$ вычисляются вдоль кривой фазового равновесия.

Чтобы вычислить градиент температуры в жидкости у поверхности пузырька, необходимо рассмотреть уравнение теплопроводности в жидкости

$$\frac{\partial T}{\partial t} + \nu \frac{\dot{R} - U_R \nu^3}{R} \frac{\partial T}{\partial \nu} = \frac{D}{R^2} \nu^4 \frac{\partial^2 T}{\partial \nu^2}, \quad (14)$$

где D - температуропроводность жидкости, $\nu = \frac{R}{r}$ - безразмерная координата точки в жидкости. При выводе (14) использовано уравнение (3).

Совокупность уравнений (4), (5), (13), (14) позволяет решить задачу о поведении парового пузырька в ультразвуковом поле. Начальные и граничные условия выбираются следующим образом: $R(0) = 5 \cdot 10^{-4}$ см, $P(0) = P_0$, $T(r = \infty, t) = T(\nu = 0, t) = T_\infty$, начальная скорость $\dot{R}(0)$ и начальное распределение температуры в жидкости $T(\nu, t = 0)$ определялись, согласно /6/, в предположении, что при $t < 0$ ультразвуковое поле отсутствует. Термодинамические величины L , k , c_v считаются известными функциями вдоль кривой фазового равновесия /7,8/.

Как и в работе /3/, задача решается численно. Результаты представлены зависимостями $R(t)$, $M(t)$ или $\bar{R}(t)$, где черта означает усреднение по времени за период ультразвукового поля.

Обсуждение результатов

Уравнения, описывающие поведение пузырька, переходят в соответствующие уравнения из работы /3/, если положить $U_R \equiv \dot{R}$ в (4) и $V \equiv C \equiv 0$. Замена уравнения (4) на уравнение Релея приводит к ничтожно малым изменениям результатов в рассмотренной области температур: $24 + 28^\circ\text{K}$. Влияние свойств пара на поведение пузырька гораздо значительнее, как видно из рис. 1, где приведены зависимости $R(t)$: кривая

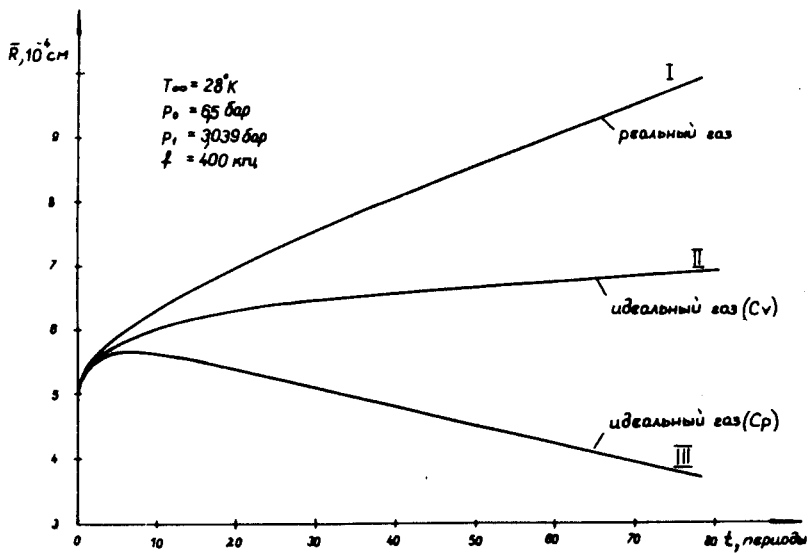


Рис. 1

I соответствует реальному газу, кривые II и III - идеальному. Различие кривых II и III объясняется способом задания экспериментальных данных для теплоемкости пара c_p или c_v , связанных друг с другом уравнением состояния газа. Если используется уравнение состояния идеального газа и данные для $c_p(c_v)$, то получается кривая II (кривая III). Для реального газа получается, естественно, единственный результат - кривая I. В этом случае пузырек достигает намного больших размеров и его поведение характеризуется особенностями, которых не было у маленьких пузырьков.

Рассмотрим эти особенности более подробно для случаев идеального и реального газа, воспользовавшись уравнением (10). В этом уравнении присутствуют как поверхностные, так и объемные члены, пропорциональные соответственно R^2 и R^3 . При рассмотрении качественного поведения достаточно маленьких пузырьков в течение одного цикла ультразвукового поля объемными членами можно пренебречь, тогда

$$L\dot{M} \approx 4\pi R^2 k \frac{\partial T}{\partial R}. \quad (15)$$

Исходя из этого выражения, легко показать, что выполняется неравенство $\dot{R}\dot{M} > 0$ (рис. 2а), которое означает, что в фазе роста (сжатия) пузырька растет (уменьшается) и его масса. При этом качественное поведение пузырька можно описать в терминах выпрямленной и статической тепловой диффузии^{/3/} безотносительно к тому, считается ли пар идеальным газом или нет.

Переходя к достаточно большим пузырькам, можно пренебречь поверхностными членами в уравнении (10), тогда

$$L\dot{M} + c_s M\dot{T} \approx 0. \quad (16)$$

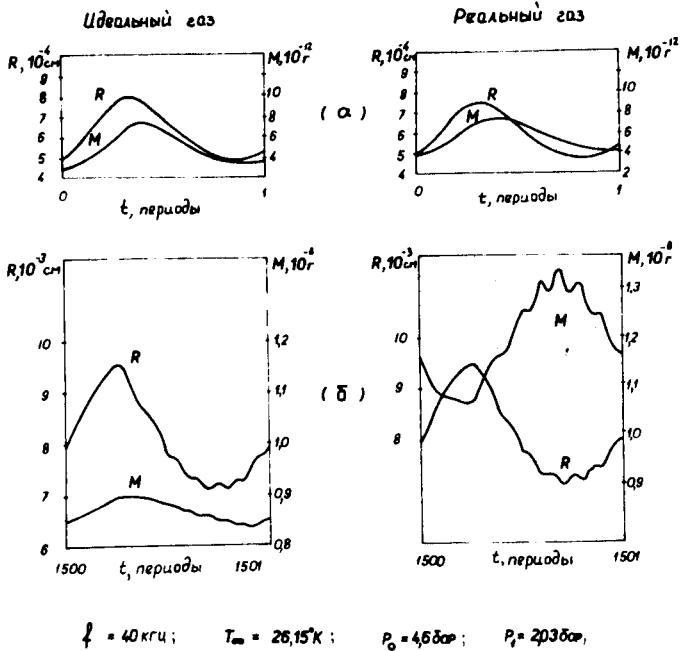


Рис. 2. Зависимости $R(t)$ и $M(t)$ для маленьких (а) и для больших (б) пузырьков за период ультразвукового поля.

Учитывая, что всегда $\dot{R}\dot{T} < 0$, заключаем, что знак произведения $\dot{R}\dot{M}$ зависит от знака удельной теплоемкости пара c_s .

Теплоемкость идеального газа $c_s = c_p - \frac{L}{T}$ может быть как положительной, так и отрицательной. Теплоемкость реального газа вдоль кривой фазового равновесия, вычисляемая согласно (11), по экспериментальным данным^{/5/}, всегда отрицательна.

Таким образом, в рассматриваемой области температур (окрестность 26°K) удельные теплоемкости идеального и реального газов вдоль кривой фазового равновесия имеют противоположные знаки, как следствие этого, $\dot{R}\dot{M} > 0$ в первом случае и $\dot{R}\dot{M} < 0$ во втором (рис. 2в). Заметим, что несмотря на это, в обоих случаях $\bar{R}\bar{M} > 0$, т.е. в среднем масса пара увеличивается, если растет средний размер пузырька.

В случае $\dot{R}\dot{M} < 0$ условия термодинамического равновесия достаточно большого парового пузырька требуют конденсации пара в фазе роста пузырька при понижении его температуры и, наоборот, испарения жидкости в фазе сжатия пузырька при повышении его температуры. Очевидно, что перенос энергии, сопровождающий переход вещества из одной фазы в другую, и перенос энергии, обусловленный выпрямленной тепловой диффузией, направлены в противоположные стороны. Вследствие этого динамическое равновесие достаточно больших пузырьков в ультразвуковом поле устанавливается тогда, когда оба потока компенсируют друг друга. Новый характер установления динамического равновесия пульсирующего пузырька влечет за собой, как увидим, качественно новую зависимость между равновесными значениями P_1, P_0 и $\bar{R}_\infty \equiv \lim_{t \rightarrow \infty} \bar{R}(t)$.

На рис. 3 и 4 приведены зависимости $\bar{R}(t)$ при различных значениях амплитуды ультразвукового поля для частот $f = 400$ кгц и $f = 40$ кгц. По мере роста амплитуды P_1 "время жизни" начального пузырька уве-

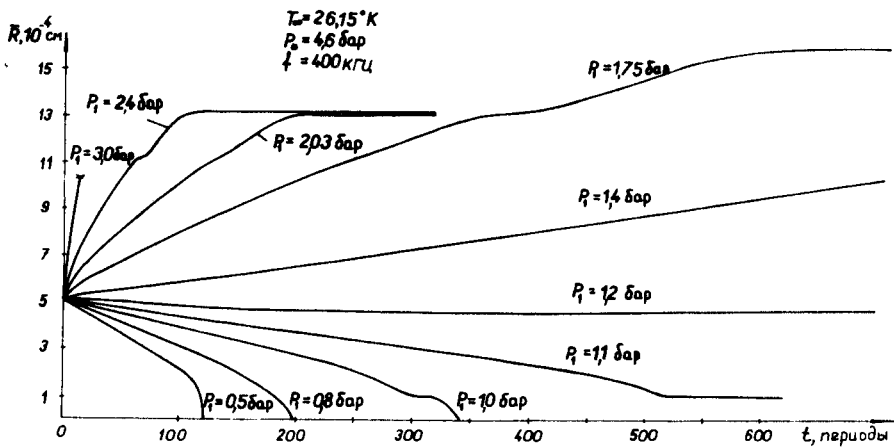


Рис. 3. Зависимости $\bar{R}(t)$ при различных амплитудах ультразвукового поля.

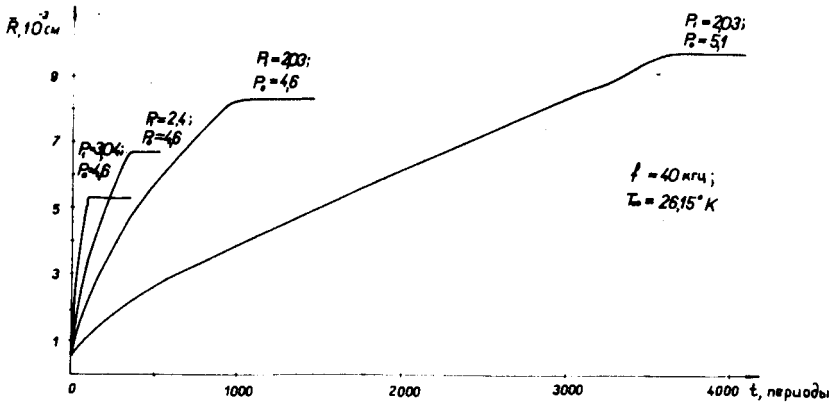


Рис. 4. Зависимости $\bar{R}(t)$ при различных амплитудах ультразвукового поля и различном статическом давлении.

личивается и становится бесконечно большим, когда амплитуда достигает значений диффузионного порога $P_1 \geq P_{\text{дифф}}$. При этом значение асимптотического радиуса \bar{R}_∞ достаточно мало, так что объемные факторы не играют заметной роли при установлении динамического равновесия по сравнению с поверхностными. Поэтому при увеличении амплитуды ультразвукового поля \bar{R}_∞ растет (рис. 3, $P_1 = 1,1$ бар, $P_1 = 1,2$ бар).

В случае больших амплитуд ультразвукового поля поведение пузырька усложняется не только тем, что существенную роль играют объемные эффекты, но и за счёт резонансных явлений, усиливающихся по мере роста пузырька и приближения его собственной частоты к частоте ультразвукового поля. Когда частоты кратны друг другу, пульсации пузырька на собственной частоте становятся особенно интенсивными. Это приводит либо к возникновению резонансных уровней на кривой $\bar{R}(t)$, либо к нарушению условия квазиравновесности процесса (1). Кривые, соответствующие $P_1 = 2,4$ бар и $P_1 = 2,03$ бар на рис. 3, являются примером того, что резонансный уровень превратился в равновесный, так как только из-за сильных пульсаций на собственной частоте можно получить одно и то же значение \bar{R}_∞ для разных амплитуд ультразвукового поля.

Кривые, приведенные на рис. 4, демонстрируют роль объемных факторов при установлении динамического равновесия больших пузырьков: с увеличением амплитуды ультразвукового поля значение \bar{R}_∞ уменьшается в противоположность случаям, когда равновесие устанавливается вследствие равенства статической и выпрямленной диффузии. Такое поведение асимптотического радиуса пузырька можно пояснить следующими приближенными расчётами. В случае динамического равновесия все физические величины $M(t)$, $T(v,t)$, $T'(t)$ и т.д. становятся периодическими функциями с периодом ультразвукового поля τ . Разде-

лим уравнение (10) на M и проинтегрируем его от t до $t + \tau$

$$\int_t^{t+\tau} L \frac{\dot{M}}{M} dt + \int_t^{t+\tau} c_s \dot{T} dt = \int_t^{t+\tau} \frac{4\pi R^2}{M} k \frac{\partial T}{\partial R} dt. \quad (17)$$

При рассмотрении качественного поведения пузырька можно считать, что термодинамические величины L , c_s , k не зависят от температуры, а, следовательно, и от времени. Тогда левая часть соотношения (17) обращается в нуль, так что

$$\int_t^{t+\tau} \frac{1}{R} \frac{\partial T}{\partial R} dt = \int_t^{t+\tau} \frac{1}{R^2} \frac{\partial T(\nu=1, t)}{\partial \nu} dt \approx 0. \quad (18)$$

Разлагая в ряд подинтегральные функции $\frac{1}{R^2}$, $\frac{\partial T(\nu=1, t)}{\partial \nu}$ и оставляя в разложениях наиболее существенные гармоники, можно показать, что имеет место приближенная формула

$$\bar{R}_\infty P_1 \approx \text{const}, \quad (19)$$

с которой хорошо согласуются результаты, приведенные на рис. 4.

По поводу соотношения (19), а также кривых на рис. 4 и 5, можно заметить следующее. Уменьшение P_1 , f или увеличение P_0 ведет к уменьшению скорости пульсаций пузырька. Так как объемные члены в уравнении (10) пропорциональны производным по времени, то они уменьшаются быстрее, чем поверхностные. Поэтому относительная роль выпрямленной диффузии возрастает и динамическое равновесие устанавливается при больших значениях \bar{R}_∞ . Естественно, что при уменьшении амплитуды и скорости пульсаций пузырька кривая $\bar{R}(t)$ растет медленнее.

На рис. 6 показаны зависимости $\bar{R}(t)$, полученные при различных температурах жидкости T_∞ при условиях, когда превышение стати-

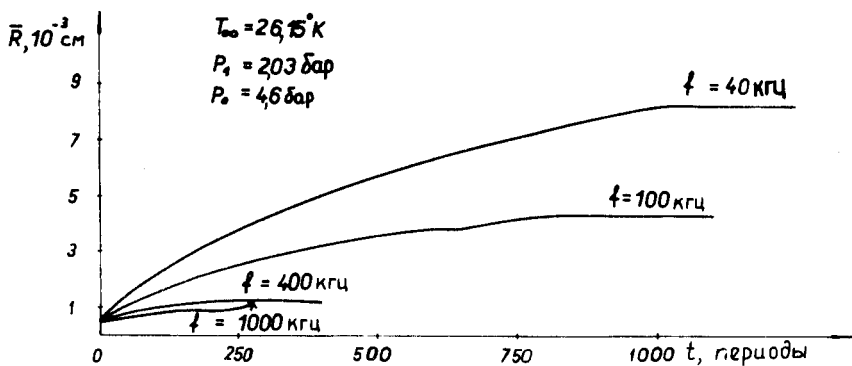


Рис. 5. Зависимости $\bar{R}(t)$ при различных частотах ультразвукового поля. Звезда на кривой означает, что дальнейшее рассмотрение соответствующего случая несовместимо с условием квазиравновесности (1).

$$f = 40 \text{ кгц}$$

$$P_0 - P_3 = 0,5 \text{ бар}$$

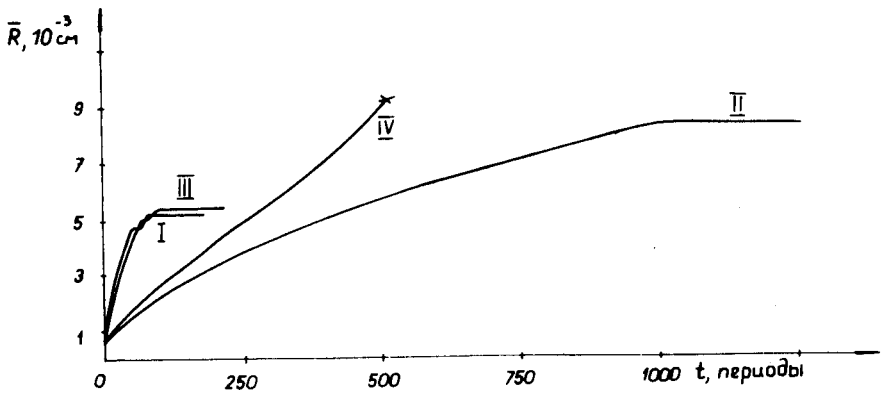


Рис. 6. Зависимости $\bar{R}(t)$ при различных температурах.

$$P_1 = 2,03 \text{ бар} \left\{ \begin{array}{l} T_\infty = 24^\circ \text{K (I)} \\ T_\infty = 26,15^\circ \text{K (III)} \end{array} \right. \quad P_1 = 3,04 \text{ бар} \left\{ \begin{array}{l} T_\infty = 26,15^\circ \text{K (II)} \\ T_\infty = 28^\circ \text{K (IV)} \end{array} \right.$$

ческого давления в жидкости над давлением насыщенного пара постоянно: $P_0 - P_s = 0,5$ бар и когда амплитуда и частота ультразвукового поля также постоянны. Как видно из кривых, резонансные явления при амплитудах 2-3 бар весьма существенны. По этой причине трудно указать температуру, оптимальную в смысле технической реализации УЗПК. С точки зрения рассмотрения динамики зародышевых пузырьков из-за меньшей величины поверхностного натяжения, по-видимому, предпочтительны более высокие температуры.

Необходимо отметить, что полученные результаты относятся к идеализированному, однородному пузырьку. Как видно из рис. 1, общая картина поведения пузырька в ультразвуковом поле существенно зависит от способа описания свойств пара, поэтому в дальнейшем представляется интересным рассмотрение динамики неоднородных пузырьков.

В заключение авторы благодарят В.А. Акуличева, В.Н. Алексева, В.А. Жукова, Г.И. Селиванова и А.И. Филиппова за полезное обсуждение.

Л и т е р а т у р а

1. R.C.A. Brown, H.J. Hilke, A.H. Rogers. Nature, 220, 1177(1968).
R.C.A. Brown, G. Harigel, H.J. Hilke, Nucl. Instr. Meth., 82, 327(1970).
2. В.А. Акуличев, Л.Р. Гаврилов, В.Г. Гребинник, В.А. Жуков, Г. Либман, А.П. Маныч, Ю.И. Рудин, Л.Д. Розенберг, Г.И. Селиванов. ДАН СССР, 189, 973 (1969).
3. Л.Г. Ткачев, В.Д. Шестаков. Акустический журнал, 17, №3 (1971).
4. В.А. Акуличев, В.Н. Алексеев, К.А. Наугольных. Акустический журнал 17, №3, (1971).
5. H.M. Roder, L.A. Weber, R.D. Goodwin. NBS Monograph, 494(1965).
6. Л.Г. Ткачев. Препринт ОИЯИ, P13-3726, Дубна (1967).

7. Selected Cryogenic Data Notebook, B.N.L. 10200 (1966).

8. V.P. Konney, W.D. Shephard, W.B. Madden, E.A. Harrington. Preprint ANL 60439 (1967).

Рукопись поступила в издательский отдел

13 апреля 1971 года.